

III-21 動的ねじりせん断試験による広いひずみ範囲の動的変形特性の研究

基礎地盤コンサルタント 正員 ○ 安田 進

" " 佐藤 亮行

" " 山口 勇

◆はじめに◆

従来、室内動的試験のうち繰返し試験では 10^{-4} 程度以上の歪レベルの試験しか行なえないと考えられてきた。したがって、共振法試験と繰返し試験を併用して、広い歪範囲での試験が行なわれてこってきた。これに対し、国生は繰返し試験のうち振動三軸試験装置に改良を加え、 10^{-6} の歪レベルまで試験を行なうことを可能とした。このように1台の繰返し試験装置で広い歪範囲の試験が行なえば、試験装置を併用する手間が省ける。

さて、繰返し試験のうち、振動三軸試験よりは動的ねじりせん断試験の方が地盤内の種々の応力状態をよりよく再現出来、また、大歪時のヒステリシスループも振動三軸試験のように非対称となりることがない。そこで筆者達は動的ねじりせん断試験装置に国生と同様の改良を加え、 10^{-6} レベル程度の微小歪でも試験が行なえるようにしてみた。そしてこの装置で広い歪範囲の動的変形係数を求めてみたいので以下に報告する次第である。

◆試験装置および試料◆

用いた動的ねじりせん断試験装置の概念図を示したのが図-1である。図中“回転角検出器(微小ひずみ)”と記した部分が、特に微小歪を検出するように改良した箇所である。これは2個のギャップセンサーからなっており、供試体のすぐ上で回転角を非接触状態で測れるようになっている。これにより微小歪の測定を行なう時には、なるべく摩擦を避けるように、回転角検出器(小ひずみ)はギャップに触れないないようにしている。また、垂直変位も非接触のギャップセンサーで測るようになっている。

試験可能な供試体寸法は、

- ① 外径7cm、内径3cm、高さ7cm
 - ② " 10cm、" 6cm " 10cm
- の2種類である。

今回の試験では試料として豊浦標準砂を用いた。これを完全飽和し、 1kgf/cm^2 の圧力で等方圧密した供試体に、排水状態で1Hzの繰返しせん断力を段階的に10倍ずつ加え、動的変形係数を求める。

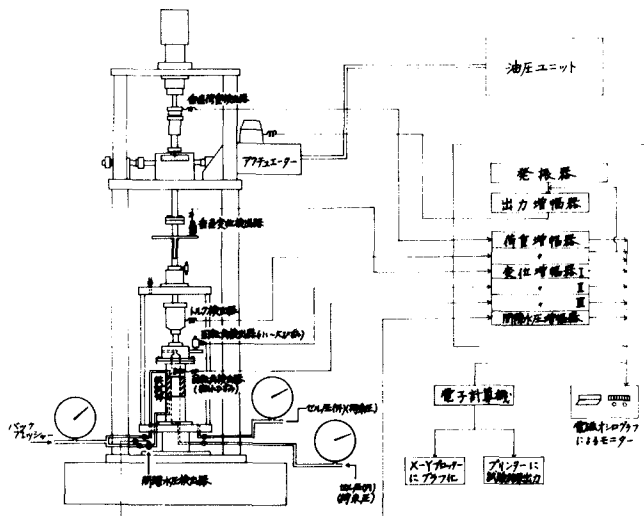


図-1. 動的ねじりせん断試験装置概念図

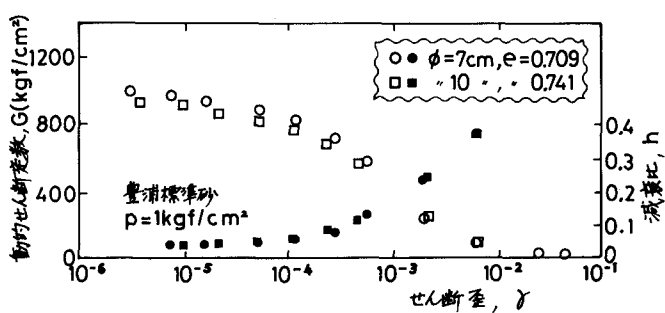


図-2. 動的ねじりせん断試験結果

◆ 試験結果および考察 ◆

試験結果のうらせん断歪 γ と動的せん断定数 G 、減衰比 e の関係を示したのが図-2である。図からまず 10^{-6} レベルでの G 、大きが求め得られることがわかる。

図-2には上記2つの寸法の供試体による結果の比較を行なっている。しかし、両者で多少間隔比が異なつたため正確な比較は行はえない。そこで、間隔比の影響として Hardin & Driscoll の提案している $(2.17 - e) \gamma / (1 + e)$ の関係があると仮定し、Φ 7 cm の供試体によるデータを補正 ($e = 0.741$) してみた。これが図-3であるが、これからわかつようによくこの2つでは供試体の寸法による結果の相違がないようである。

次に、 $\gamma = 10^{-6}$ の G (これを G_0 と記す) を図-3から求め、 $G/G_0 \sim \gamma$ の関係で整理すると図-4の実線となる。比較のために、同じ豊浦標準砂、同じ平均主応力 p で岩崎ら²⁾ と国生³⁾ が行なった実験結果も同図に示した。図からわかつようによく今回の実験結果も両者の $G/G_0 \sim \gamma$ の関係と類似しているようである。

さて、同じ繰返し試験に分類される振動三軸試験結果とも比較するために、同じ条件で振動三軸試験を行なってみた。この結果を示すのが図-5である。これから $\gamma = 0.3$ として $\gamma = 10^{-4}$ の G を求めてみると図-6の印となる。これに対し、図-3から動的せん断試験での G をプロットしたのが○印である。同図には岩崎・龍岡・高木¹⁾ および国生³⁾ の結果も線で示している。今回の実験結果はどちらかといふと国生の実験結果に近い値を示しており、すなはち動的ねじりせん断試験と、振動三軸試験での $\gamma = 10^{-4}$ の G に差がないことがわかる。

◆ 謝辞 ◆ 振動三軸試験を行なうにあつては、曾我誠氏の協力を得た。
感謝する次第である。

◆ 参考文献 ◆ 1) 岩崎敏男、龍岡文夫、高木義和(1978), "Shear Moduli of Sands under Cyclic Torsion Shear Loading," 土質工学会論文報告集, Vol. 18, No. 1
2) 国生剛治(1980),

"Cyclic Triaxial Test of Dynamic Soil Properties for Wide Strain Range," 土質工学会論文報告集 Vol. 20, No. 2.

3) Hardin, B.O. and Richart, F.E. (1963), "Elastic Wave Velocities in Granular Soils," Proc. ASCE, Vol. 89, SM1

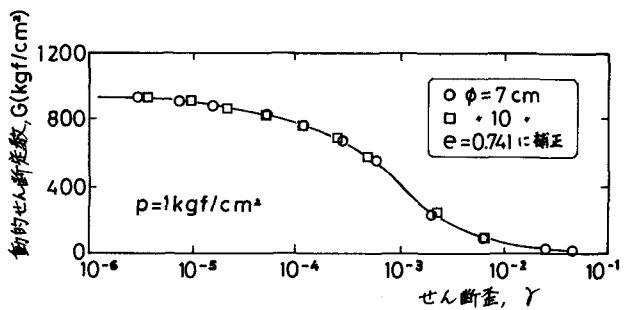


図-3. 供試体寸法が G_0 に与える影響

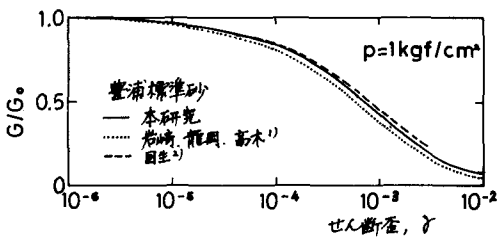


図-4. $G/G_0 \sim \gamma$ 関係

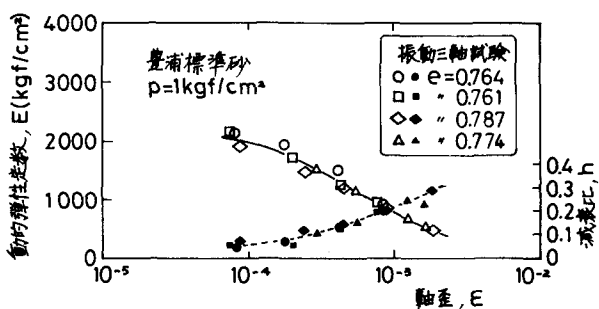


図-5. 振動三軸試験結果

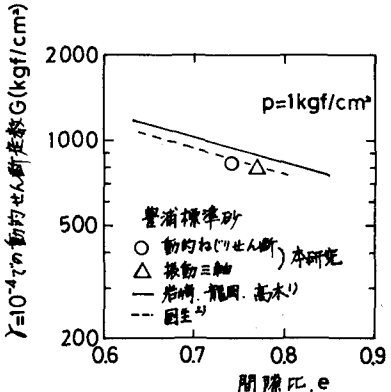


図-6. 動的ねじりせん断試験と
振動三軸試験結果の比較